

## مقاله علمی-پژوهشی:

## استانداردسازی صید به ازاء واحد تلاش (CPUE) تون زردباله (*Thunnus albacares*) با استفاده از روش خطی عمومی (GLM) در صید گوشگیر آبهای ایرانی دریای عمان

سید حسام کاظمی<sup>۱</sup>، سید یوسف پیغمبری<sup>۱\*</sup>، پرویز زارع<sup>۱</sup>، سعید گرگین<sup>۱</sup>

\*sypaighambari@gau.ac.ir

۱- گروه شیلات، دانشکده شیلات و محیط زیست، دانشگاه علوم کشاورزی و منابع طبیعی گرگان، ایران

تاریخ پذیرش: آبان ۱۳۹۸

تاریخ دریافت: مرداد ۱۳۹۵

### چکیده

تون زردباله (*Thunnus albacares*) از گونه‌های تجاری و مهم سطحی است که به دلیل اهمیت اکولوژیک و پراکنش وسیع آن در جهان شناخته شده است. هدف از این مطالعه بررسی شاخص فراوانی نسبی تون زردباله در مدت ده سال صید (۹۵-۱۳۸۶) و بررسی تاثیر سال، ماه، تناژ شناور و ارتفاع طاقه‌های تور گوشگیر بر صید به ازاء واحد تلاش صیادی CPUE این گونه در صید گوشگیر شناورهای سنتی از آبهای ساحلی دریای عمان می‌باشد که با مدل خطی عمومی (GLM) استاندارد شدند. غالباً در ارزیابی ذخایر هنگامی که پارامترهای جمعیتی را در مورد یک جمعیت محاسبه می‌کنند، از صید به ازاء واحد تلاش استاندارد شده که به عنوان شاخص فراوانی نسبی سالانه جمعیت در نظر گرفته می‌شود، به عنوان یک ورودی مهم استفاده می‌شود. نتایج این مطالعه نشان داد تمام متغیرهای مورد استفاده در مدل خطی عمومی به طور معنی‌داری بر CPUE اثرگذار بوده بطوریکه با افزایش هر یک تن تناژ شناور صیادی و هر یک متر ارتفاع تور، مقدار CPUE تون زردباله بترتیب ۰/۰۰۷ و ۰/۰۰۱۶ کیلوگرم افزایش یافته است. شاخص فراوانی نسبی تون زردباله در سال ۱۳۹۰ کمترین مقدار خود را داشت، این شاخص تا سال ۱۳۹۲ تغییرات چشمگیری نداشت اما پس از آن افزایش یافت تا به بالاترین مقدار خود در سال ۱۳۹۵ رسید که نشان می‌دهد با افزایش تلاش صیادی ظرفیت افزایش صید وجود دارد. صید به ازاء واحد تلاش استاندارد شده تون زردباله یک گرایش شدید فصلی نشان داد بطوریکه میزان صید در فصل سرد سال بیشتر بود. بررسی شاخص فراوانی نسبی ماهانه نشان داد که بیشترین نرخ صید تون زردباله در ماه‌های بهمن و اسفند انجام شده است.

**لغات کلیدی:** صید گوشگیر، تون زردباله، CPUE استاندارد شده، مدل خطی عمومی

\*نویسنده مسئول

## مقدمه

تون زردباله (*Thunnus albacares*) یک ماهی با انتشار جهانی است که در آبهای گرمسیری و نیمه گرمسیری اقیانوس هند و اطلس و آرام به صورت گله‌ای زیست می‌کند. در اقیانوس هند یک جمعیت، در اقیانوس آرام دو جمعیت (شرق آرام، غرب و مرکز آرام) و در اقیانوس اطلس نیز یک جمعیت از تون زردباله وجود دارد. این گونه که از گونه‌های دارای مهاجرت زیاد بشمار می‌رود، معمولاً در مرحله جوانی به همراه ماهیان هور مسقطی جوان (*Katsuwonus pelamis*) زیر اجسام شناور روی آب دیده می‌شود (IOTC, 2013,a,b,c).

صید سالانه تون زردباله در اقیانوس هند از اواسط دهه ۱۹۸۰ به طور چشمگیری افزایش یافت تا اینکه در سال ۲۰۰۴ به اوج خود (۸۲۵۷۹۷ تن که ۲۰۹۲۹ تن از آن مربوط به صید قلاب کششی<sup>۱</sup> بود) رسید. اما پس از آن کاهش یافت تا در سال ۲۰۱۲ مقدار ۳۷۰۰۰۰ تن (۲۱۴۴۴ تن قلاب کششی) رسید (IOTC, 2013,c). در دریای عمان نیز تلاش کل صیادی شدت افزایش یافت و تعداد تون ماهیان جوان در صید افزایش چشمگیری داشت بطوریکه نسبت زیادی از تون‌های زردباله صید شده کوچکتر از سایز استاندارد بودند (حسینی، ۱۳۸۶). کمیسیون تون ماهیان اقیانوس هند (IOTC) مطالعات بسیار زیادی را در رابطه با ارزیابی ذخایر (IOTC Secretariat, 2001, 2004, 2005; Nishida and Shono, 2002)، خصوصیات زیست‌شناسی (Kaymaram, 2000; Tantivala, 2000; Nootmorn and Panjarat, 2001; Arrizabalaga, 2002; Olivier, 2002; Somvanshi, 2002; Ariz, 2005) پراکنش (Mohri and Nishida, 2000) و استانداردسازی صید به ازاء واحد تلاش (Winker et al., 2017; Lee et al., 2018; Yeh et al., 2018) تون زردباله انجام داده است.

چهار کشور اول بهره‌بردار از اقیانوس هند بترتیب اسپانیا، فرانسه، تایوان و ایران هستند. صید اصلی اسپانیا و فرانسه

پرساین، تایوان لانگ لاین و ایران بیش از ۹۰٪ تورهای گوشگیر سطحی است که تون ماهیان شامل ۳۸٪ از ماهیان صید شده هستند که در سواحل دریای عمان تخلیه می‌شوند. ۱۹٪ صید که در سال ۲۰۱۱ معادل ۱۵۵۳۰۶ تن بود، شامل تون زردباله است (Kaymaram et al., 2014). غالب این صید بوسیله تورهای گوشگیر صید سنتی انجام می‌شود که بسیار متأثر از شرایط جوی دریایی است. جریانهای شدید که در اثر مانسون جنوب شرقی از اردیبهشت ماه لغایت مرداد ایجاد می‌شوند، شرایط صید را با محدودیت مواجه می‌کنند. عمدتاً دو نوع شناور شامل قایق‌های فایبرگلاس و لنج‌های چوبی در این صید سنتی استفاده می‌شوند.

اغلب صید به ازاء واحد تلاش صیادی، به عنوان شاخص فراوانی نسبی در ارزیابی ذخایر استفاده می‌شود که یک ورودی بسیار مهم در ارزیابی پارامترهای جمعیتی است. بعلاوه، داده‌های CPUE مشاهداتی همیشه داده‌های صید و تلاشی هستند که ملوانان، صیادان یا مامورین شیلات از صید تجاری در محل تخلیه ثبت کرده‌اند. بنابراین، این داده‌ها همواره تحت تأثیر زمان، مکان، گونه هدف، پراکنش ماهیان و عوامل محیطی تغییرپذیرند. متعاقباً تخمین شاخص فراوانی نسبی جمعیت، تحت تأثیر این عوامل قرار می‌گیرد و همچنین ممکن است قابلیت صید را نیز تغییر دهند. بنابراین، CPUE مشاهداتی<sup>۲</sup> شاخص واقعی فراوانی نسبی را نشان نمی‌دهد. یک راه حل برای کاهش این اثرات بر قابلیت صید، استاندارد کردن داده‌های بدست آمده از صیادی<sup>۳</sup> و استفاده از CPUE استاندارد شده به عنوان شاخص فراوانی نسبی جمعیت است. تاکنون چندین روش برای استاندارد کردن CPUE استفاده شده است (Hinton and Maunder, 2004)؛ که در این میان مدل‌های خطی عمومی (GLM<sup>۴</sup>) متداول‌ترین هستند (Maunder and Punt, 2004).

GLM ها مناسب‌ترین و پرکاربردترین روش استانداردسازی هستند زیرا تاریخ بسیار طولانی دارند،

<sup>2</sup> Nominal CPUE

<sup>3</sup> Fishery dependent data

<sup>4</sup> General Linear Model

<sup>1</sup> Trolling

متغیر است. بنادر اصلی محل تخلیه صید شامل رمین، پزم، کنارک، بریس، تنگ و گالک هستند. صید گوشگیر تون ماهیان در سواحل دریای عمان و آبهای فراساحلی در تمامی ماه‌های سال انجام می‌شود و اطلاعات صید را در روزهای دریاری در دفترچه‌های روزانه<sup>۲</sup> صیادان و هنگام تخلیه در بندر، ناظرین شیلات ثبت می‌کنند. شناورهای صیادی در این روش صید طاقه‌های تور گوشگیر را به شکل عمودی و افقی به یکدیگر متصل می‌کنند بطوریکه ارتفاع تورها گاهی تا ۱۵۰ متر نیز می‌رسد. شناورهای بزرگتر به دلیل توانایی حمل تورهای بیشتر و دارای ظرفیت نگهداری و توانایی ماندن بیشتر در دریا، صید بیشتری انجام می‌دهند.

برای اینکه ناوگان گوشگیر ایران، سری‌های زمانی از شاخص فراوانی نسبی تون زردباله صید شده را در دریای عمان محاسبه کنند، از روش خطی عمومی (Nelder and Wedderburn, 1972) استفاده کردند تا تأثیر فاکتورهایی که تلاش صیادی را بین شناورها (اندازه، قدرت موتور، تجهیزات صید و ترکیب صید) یا بین تلاش‌های مختلف شناورهای یکسان (زمان و مکان صید) تغییر می‌دهند، حذف شود (Gulland, 1983). بعلاوه، داده‌های بدست آمده از صیادی اغلب شامل تعدادی صید صفر<sup>۳</sup> است بخصوص هنگامی که گونه مورد مطالعه با گونه صید هدف فرق داشته باشد (جاییکه تلاش صیادی صورت گرفته ولی گونه مورد نظر صید نشده است). یک راه متداول برای از بین بردن اثر صید صفر در تبدیل لگاریتمی CPUE در مدل خطی عمومی، افزودن ۱۰٪ میانگین کل CPUE مشاهداتی به عنوان ثابت به آنهاست (Cao et al., 2011).

به طور کلی، ۸۳۵۳ شناور صیادی، طی سال‌های ۹۵-۱۳۸۶، تعداد ۱۸۰۶۰ تلاش صیادی ثبت شده انجام دادند. این مقدار نمونه ثبت شده تقریباً برابر ۱۰ درصد کل تلاش صیادی در منطقه می‌باشد که ناظرین سازمان شیلات ایران آن را ثبت نمودند. مقدار تلاش صیادی از حاصلضرب تعداد طاقه‌های تور گوشگیر در ساعات حضور تور در آب

براحتی قابل فهم هستند و روش‌های قابل قبولی برای انتخاب فاکتورها و متغیرها در مدل دارند (Hinton and Maunder, 2004). در مدل‌های خطی عمومی CPUE به صورت یک رابطه خطی از متغیرهای توضیحی پیش‌بینی می‌شود. مهمترین موضوع در مدل‌های خطی عمومی محاسبه اثر سال است زیرا نشان‌دهنده شاخص سالانه فراوانی نسبی جمعیت است که ورودی بسیار مهم در مدل‌های ارزیابی ذخایر آبیان است. اگر ضریب قابلیت صید<sup>۱</sup> (q) در طول زمان ثابت و قابل محاسبه باشد، در اینصورت از شاخص فراوانی نسبی سالانه ( $I_t$ ) میتوان تغییرات بیوماس ( $B_t$ ) را ارزیابی نمود ( $I_t = q \cdot B_t$ ) (Andrade, 2009). اثر سال در مدل‌های خطی عمومی به صورت متغیر گسسته در نظر گرفته می‌شود. همچنین تعداد متغیرهای توضیحی مورد استفاده در مدل‌های خطی عمومی نباید بیش از اندازه باشد زیرا ممکن است تغییرات CPUE که به اثر سال مربوط بوده است، سهواً به این متغیرهای توضیحی اضافی نسبت داده شوند (Abear, 2009).

بنابراین، در این تحقیق ضرورت یافت تا داده‌های صید به ازاء واحد تلاش تون زردباله در ناوگان گوشگیر ایران استاندارد شوند تا تغییرات واقعی شاخص فراوانی نسبی طی ۱۰ سال (۹۵-۱۳۸۶) مشخص شود. در این پژوهش، از روش خطی عمومی استفاده شد و تمرکز بر روش صید سنتی گوشگیر بود زیرا بیش از ۹۰ درصد مقدار صید این گونه در منطقه از این روش انجام می‌شد.

## مواد و روش‌ها

شناورهای صیادی از قایق تا لنج با تناژ ۱ تا حدود ۲۰۰ تن در صیدگاه‌های استان سیستان و بلوچستان در آبهای دریای عمان تا عمق ۲۰۰۰ متر با استفاده از تورهای گوشگیر اقدام به صید می‌کنند. تورهای گوشگیر سطحی با طاقه‌هایی به طول ۱۸۳-۱۶۰ متر از طریق شناورها در هر سفر دریایی به آب انداخته شدند و تعداد طاقه‌های تور بر حسب تناژ شناور و توان مالی صاحب آن ۵۰۰-۲۰ عدد

<sup>2</sup> Logbook

<sup>3</sup> zero catch

<sup>1</sup> Catchability coefficient

گوشگیر در دریای عمان طی سال‌های ۹۵-۱۳۸۶ نشان می‌دهد. مقدار صید نمونه‌ها از سال اول لغایت سال ۱۳۸۹ افزایش چشمگیری را آغاز کرد بطوریکه در سال ۱۳۸۹ نسبت به سال ۱۳۸۶ به مقدار شش برابر بیشتر بوده است. این میزان طی سال‌های ۹۳-۱۳۸۹ در نوسان بود تا در ۱۳۹۳ به بیشترین مقدار خود یعنی ۶۸۰۹ تن رسید. اما در سه سال آخر تقریباً میزان ثابتی داشته که میانگین آن برابر ۶۵۱۷ تن بود. مقدار واحد تلاش صیادی نیز متناسب با تغییرات مقدار صید در سال ۱۳۸۸ ( $10^5 \times 347$ ) طاقه در ساعت) نسبت به سال قبل خود ( $10^5 \times 172$ ) طاقه در ساعت) بیش از دو برابر شد.

میزان صید به ازاء واحد تلاش صیادی (CPUE ثبت شده) تا سال ۱۳۹۰ تغییرات زیادی نداشت (شکل ۲). اما در سال ۱۳۹۱ افزایش چشمگیری داشت و تقریباً دو برابر شد. در سال ۱۳۹۲ یک کاهش جزئی داشت و سپس مجدداً افزایش یافت تا در ۱۳۹۵ به بالاترین مقدار خود رسید. این شاخص در سال ۱۳۹۵ نسبت به سال ۱۳۹۰ به مقدار سه برابر افزایش یافت.

شکل ۲ همچنین صید به ازاء واحد تلاش صیادی استاندارد شده (شاخص فراوانی نسبی) به روش خطی عمومی و ۹۵ درصد فاصله اطمینان آن را در نمونه‌های ثبت شده تون زردباله که توسط شناورهای سنتی گوشگیر در دریای عمان طی ده سال صید شدند، نشان می‌دهد. شاخص فراوانی نسبی در سال ۱۳۹۰ کمترین مقدار و در سال ۱۳۹۵ بیشترین مقدار کمی را داشت. شاخص فراوانی نسبی سالانه تا ۱۳۹۲ تغییرات زیادی نداشت، اما پس از آن افزایش یافت.

همان‌طوریکه جدول تجزیه واریانس (جدول ۱) نشان می‌دهد، تمامی متغیرهای توضیحی مورد استفاده شده در مدل (سال، ماه، ارتفاع تورها و تناژ شناور) با توزیع خطای لوگ نرمال به طور معنی‌داری بر CPUE اثر داشتند. پارامترهای مربوط به CPUE استاندارد شده نیز در جدول ۲ ارائه شده است.

نمودار توزیع فراوانی باقیمانده‌ها نشان می‌دهد خطای باقیمانده‌ها توزیع نرمال دارند و مدل خطی عمومی

در هر سفر دریایی محاسبه گردید. سپس صید به ازاء واحد تلاش صیادی از تقسیم مقدار وزن کل صید به تلاش صیادی بدست آمد.

با توجه به اطلاعات صید و تلاش ثبت شده برای هر تلاش صیادی، سال (۹۵-۱۳۸۶)، ماه (تمامی ماه‌های سال)، تناژ ناخالص شناور (۱-۱۹۶ تن) و ارتفاع پانلهای تورهای گوشگیر (تا ۱۵۰ متر) به عنوان متغیرهای توضیحی در مدل استفاده شدند.

این فاکتورهای ثابت با لگاریتم صید به ازاء واحد تلاش (lnCPUE) با فرض توزیع خطای لوگ نرمال، رابطه خطی دارند. برای اینکه تبدیل لگاریتمی صیده‌های صفر تعریف نشده<sup>۱</sup> نشود، ۱۰ درصد میانگین کل CPUE به عنوان ثابت به تمام CPUE های مشاهداتی Ln اضافه شد. فرمول کلی مدل خطی عمومی GLM به صورت ذیل است:

$$\ln(\text{CPUE}_{ijkm} + \text{Constant}) = \text{Intercept} + Y_i + M_j + S_k + D_m + \varepsilon_{ijkm}$$

بطوریکه Constant، ۱۰٪ میانگین کل CPUE های مشاهداتی است،  $Y_i$  اثر سال در سال  $i$ ،  $M_j$  اثر ماه  $j$ ،  $S_k$  سائز شناور  $k$  (تناژ ناخالص GRT)،  $D_m$  اثر ارتفاع تورهای گوشگیر  $m$  و  $\varepsilon_{ijkm}$  خطای مدل با ساختار لوگ نرمال  $\log N(0, \sigma^2)$  می‌باشد.

شاخص فراوانی نسبی در GLM به صورت میانگین حداقل مربعات اثر سال (LSMeans) محاسبه می‌شود، چون هدف اولیه شناسایی تفاوت‌های فراوانی تون زردباله در طی سال‌های متوالی است. تمامی محاسبات در نرم افزار R (نسخه‌ی ۳.۵.۰، ۲۰۱۸) صورت گرفته است.

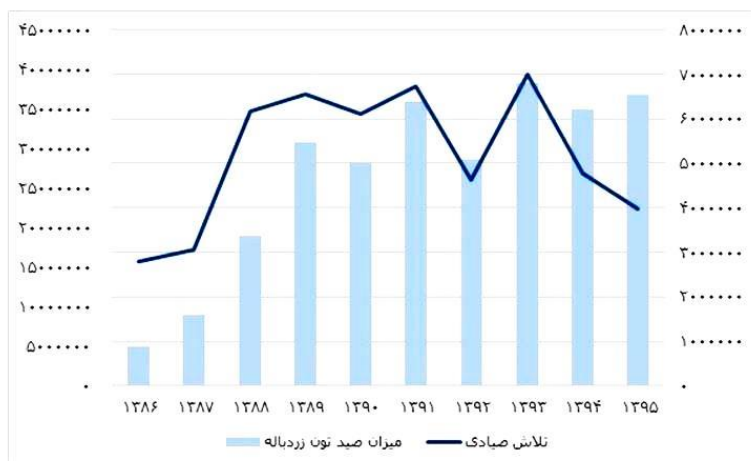
## نتایج

شکل ۱ مقدار کل صید تون زردباله (واحد کیلوگرم) و تلاش صیادی (تعداد طاقه‌های تور گوشگیر \* ساعات حضور تور در آب دریا) را در نمونه‌های ثبت شده (تقریباً معادل ۱۰ درصد تلاش صیادی کل) از صید سنتی

<sup>۱</sup> Undefined

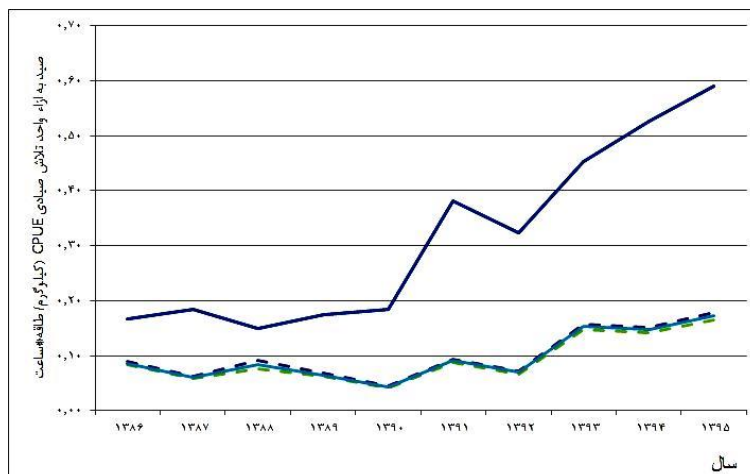
فراوانی نسبی ماهانه تون زردباله در سواحل دریای عمان بیشترین مقدار خود را در نیمه دوم سال، مطابق با فصل تخم‌ریزی و خارج از فصل بادهای موسمی نشان داد.

بکاربرده شده روش مناسبی برای استانداردسازی داده‌ها بود (شکل ۳).  
بیشترین مقدار صید تون زردباله در نیمه دوم سال و در ماه‌های بهمن و اسفند انجام گرفت (شکل ۴) و شاخص



شکل ۱: مقدار وزنی (kg) تون زردباله صید شده توسط ناوگان گوشگیر ایران (ستون‌ها) و تلاش صیادی (تعداد طاقه در ساعت؛ خط) در نمونه‌های ثبت شده (۱۰ درصد از صید کل) از آب‌های دریای عمان در طی ده سال

Figure 1: Annual catch of Yellowfin tuna by Iranian gillnet fisheries (kg; columns) and fishing effort (net panels × hours; line) registered as subsamples (10 percent of the total catch) in the Oman Sea from 2007 to 2016.



شکل ۲: تغییرات CPUE (کیلوگرم / تعداد طاقه × ساعات حضور تور در آب) مشاهداتی (خط بالایی) و استاندارد شده به روش خطی عمومی GLM (خط پایین) به همراه محدوده‌ی ۹۵٪ اطمینان آن (خط چین) در صید گوشگیر تون زردباله دریای عمان طی ده سال

Figure 2: Changes of nominal CPUE (kg / net panels × hours) (upper line) and standardized CPUE by GLM (lower line) with 95% confidence interval (dash lines) caught by Iranian gillnet fisheries in the Oman Sea from 2007 to 2016.

جدول ۱: جدول تجزیه واریانس متغیرهای توضیحی در داده‌های CPUE استاندارد شده تون زردباله دریای عمان به روش خطی عمومی (GLM) از سال ۱۳۸۶ تا ۱۳۹۵ ( $p < 0.01$ )

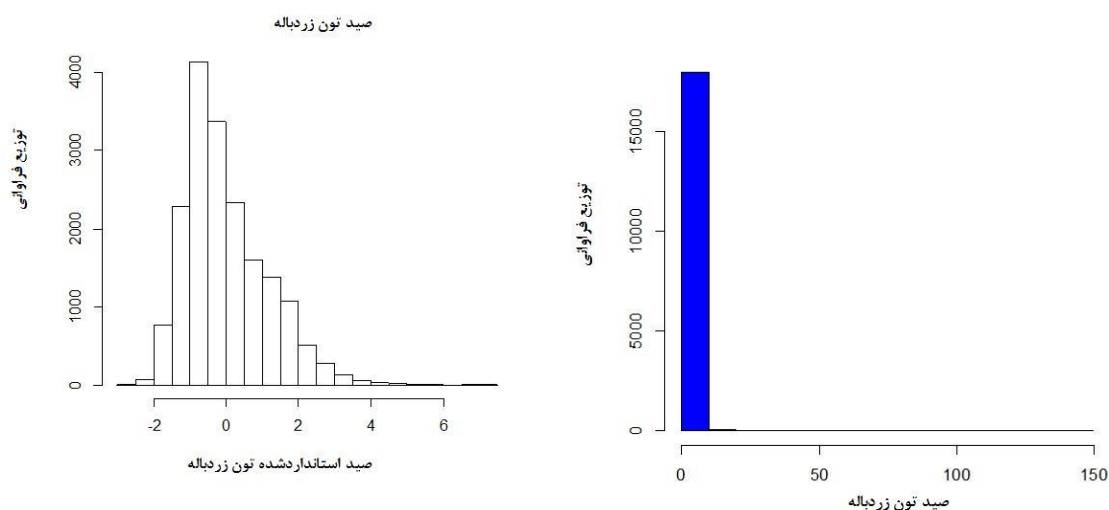
**Table 1: ANOVA table of explanatory variables in generalized linear model for yellowfin tuna CPUE (kg / net panels × hours) from Iranian gillnet tuna fisheries for 2007 to 2016.**

مقدار P	مقدار t	خطای استاندارد	محاسبه شده	ضرایب
$P < 0.001$	-۵۶/۷۳۶	۰/۰۴۱۹۰۱۷	-۲/۳۷۷۳۴۵۱	عرض از مبدا
$P < 0.05$	-۲/۰۸۲	۰/۰۴۶۲۹۵۳	-۰/۰۹۶۳۹۰۷	۱۳۸۷
$P < 0.001$	-۴/۲۸۸	۰/۰۴۵۹۷۵۴	-۰/۱۹۷۱۵۸۶	۱۳۸۸
$P < 0.001$	-۷/۳۲۸	۰/۰۴۵۲۷۶۲	-۰/۳۳۱۷۹۹۶	۱۳۸۹
$P < 0.001$	-۹/۳۱۴	۰/۰۴۲۸۲۷۹	-۰/۳۹۸۹۱۸۰	۱۳۹۰
$P < 0.001$	۳/۳۳۵	۰/۰۳۹۹۳۵۱	۰/۱۳۳۱۷۲۵	۱۳۹۱
$P < 0.05$	-۱/۹۸۷	۰/۰۴۳۷۷۹۳	-۰/۰۸۶۹۸۹۰	۱۳۹۲
$P < 0.001$	۱۴/۵۴۳	۰/۰۴۱۷۴۸۴	۰/۶۰۷۱۵۵۳	۱۳۹۳
$P < 0.001$	۱۱/۸۷۶	۰/۰۴۳۱۰۹۷	۰/۵۱۱۹۸۷۴	۱۳۹۴
$P < 0.001$	۱۵/۰۸۰	۰/۰۴۳۷۱۲۱	۰/۶۵۹۱۹۰۸	۱۳۹۵
$P < 0.001$	-۱۷/۷۰۸	۰/۰۳۷۵۱۲۹	-۰/۶۶۴۲۷۲۶	اردیبهشت
$P < 0.001$	-۱۸/۸۸۴	۰/۰۳۹۸۶۵۱	-۰/۷۵۲۷۹۸۵	خرداد
$P < 0.001$	-۲۲/۵۶۹	۰/۰۴۷۰۲۱۸	-۱/۰۶۱۲۱۵۸	تیر
$P < 0.001$	-۱۰/۸۲۸	۰/۰۴۲۰۰۱۵	-۰/۴۵۴۷۸۸۷	مرداد
$P < 0.001$	۱۰/۲۲۵	۰/۰۳۸۵۷۹۷	۰/۳۹۴۴۵۹۵	شهریور
$P < 0.001$	۳/۵۴۵	۰/۰۳۹۰۵۸۰	۰/۱۳۴۹۱۱۶	مهر
$P < 0.01$	۳/۲۴۸	۰/۰۳۸۶۴۴۹	۰/۱۲۵۵۲۶۶	آبان
$P < 0.01$	-۲/۵۸۹	۰/۰۴۸۵۱۰۸	-۰/۱۲۵۶۱۰۳	آذر
$P < 0.05$	۰/۲۶۸	۰/۰۵۰۷۳۵۰	۰/۰۱۳۵۹۷۵	دی
$P < 0.001$	۵/۰۱۳	۰/۰۵۰۲۳۷۷	۰/۲۵۱۸۴۶۸	بهمن
$P < 0.001$	۴/۴۷۹	۰/۰۵۲۲۶۹۷	۰/۲۳۴۱۳۶۶	اسفند
$P < 0.001$	۲۸/۴۷۷	۰/۰۰۰۲۴۴۰	۰/۰۰۶۹۴۷۸	تناژ شناور
$P < 0.001$	۵/۷۴۴	۰/۰۰۰۲۸۳۱	۰/۰۰۱۶۲۵۸	ارتفاع تورهای گوشگیر

جدول ۲: شاخص‌های صید به ازاء واحد تلاش (CPUE) استاندارد شده به روش خطی عمومی (GLM) در صید گوشگیر تون زردباله دریای عمان در طول ۱۰ سال (۱۳۸۶ تا ۱۳۹۵)

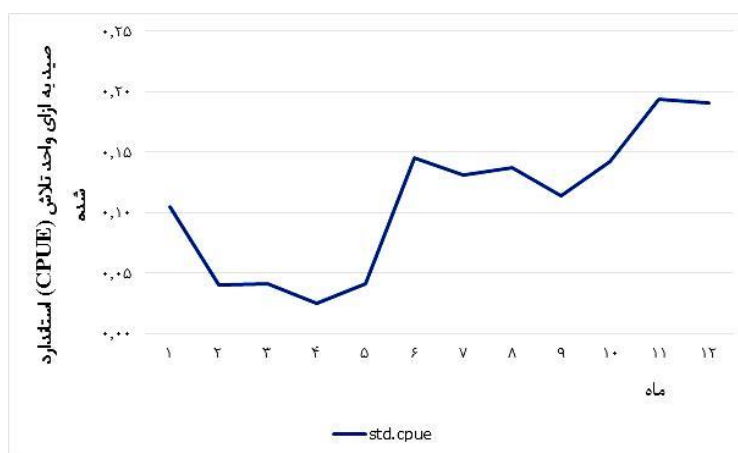
**Table 2: Values of standardized CPUE of yellowfin tuna estimated by general linear model from Iranian gillnet tuna fisheries in the Oman Sea from 2007 to 2016.**

سال	CPUE استاندارد شده	حد پایینی CPUE	حد بالایی CPUE	انحراف معیار	ضریب تغییرات	CPUE مشاهداتی
۱۳۸۶	۰/۰۸۶۳۸۵۴	۰/۰۸۳۸۱۶۹۶	۰/۰۸۸۹۵۳۸۶	۰/۰۴۵۲۷۴	۰/۰۵۲۴۰۹۳	۰/۱۶۵۹۱۲۲
۱۳۸۷	۰/۰۶۰۱۴۴۶	۰/۰۵۷۶۶۷۹/	۰/۰۶۲۶۲۲۱۲۲	۰/۰۴۵۶۹۳۳	۰/۷۵۹۷۲۴	۰/۱۸۴۸۱۴۴
۱۳۸۸	۰/۰۸۴۳۳۲۶	۰/۰۷۶۶۳۷۸۹	۰/۰۹۲۰۲۷۲۷	۰/۱۴۵۲۹۰۳	۱/۷۲۲۸۲۵	۰/۱۵۰۰۱۹۱
۱۳۸۹	۰/۰۶۵۰۳۵۱	۰/۰۶۲۴۳۵۱۹/	۰/۰۶۷۷۳۴۹۴/	۰/۰۵۰۱۳۶۸	۰/۷۷۰۹۲	۰/۱۷۴۴۷۷۶
۱۳۹۰	۰/۰۴۲۷۲۹۸	۰/۰۴۰۸۲۳۰۴/	۰/۰۴۴۶۳۶۴۹	۰/۰۴۲۹۸۷۷	۱/۰۰۶۰۳۷	۰/۱۸۴۵۸۱۲
۱۳۹۱	۰/۰۹۰۵۷۵۵	۰/۰۸۸۱۶۱۸۵	۰/۰۹۲۹۸۹۲۳	۰/۰۶۷۷۹۷۳۵/	۰/۷۵۰۴۶۲	۰/۳۸۱۹۸۵۴
۱۳۹۲	۰/۰۶۹۵۹۳۱/	۰/۰۶۷۱۷۷۸۸۲/	۰/۰۷۲۰۰۷۳۹	۰/۰۵۱۳۱۷۳	۰/۷۳۷۳۹	۰/۳۲۳۹۹۳۹
۱۳۹۳	۰/۰۱۵۲۳۲۰۴/	۰/۱۴۷۷۴۸۳	۰/۱۵۶۸۹۲۴	۰/۱۱۴۶۹۷۴	۰/۷۵۳۰۰۱	۰/۴۵۲۵۶۱۵
۱۳۹۴	۰/۱۴۷۲۳۱	۰/۱۴۲۴۵۰۷	۰/۱۵۲۰۱۱۲	۰/۱۰۴۸۰۵۷	۰/۷۱۱۸۴۶	۰/۵۲۶۲۸۴۹
۱۳۹۵	۰/۱۷۱۸۷۹۹	۰/۱۶۵۷۵۵	۰/۱۷۸۰۰۴۸/	۰/۱۳۰۲۲۶۲	۰/۷۵۷۶۵۸	۰/۵۹۰۷۰۷۳



شکل ۳: نمودار توزیع فراوانی باقیمانده ها در داده‌های صید به ازاء واحد تلاش صیادی تون زردباله در دریای عمان قبل از استانداردسازی (در بالا) و بعد از استانداردسازی (در پایین) یک توزیع نرمال با میانگین صفر و یک را نشان می‌دهد.

Figure 3: The frequency distribution of residuals before (upper panel) and after standardization (lower panel) with lognormal error structure in CPUE data of yellowfin tuna caught by Iranian gillnet tuna fisheries in the Oman Sea.



شکل ۴: تغییرات ماهانه صید به ازاء واحد تلاش (CPUE) استاندارد شده در صید تون زردباله به روش گوشگیر در دریای عمان طی سال‌های ۹۵-۱۳۸۶

Figure 4: Monthly variation of standardized CPUE of yellowfin tuna estimated by general linear model from Iranian gillnet tuna fisheries in the Oman Sea from 2007 to 2016.

### بحث

می‌شود. به دلیل اهمیت بالای CPUE در ارزیابی ذخایر و متناسب بودن آن با فراوانی جمعیت، ضروری است تمام فاکتورهایی که روی این شاخص اثرگذارند، حذف و در واقع استاندارد شوند. فرض اساسی در تمام مدل‌های استانداردسازی این است که اثر سال نشان‌دهنده تغییرات

داده‌های صید به ازاء واحد تلاش صیادی (CPUE) قسمت اصلی اطلاعات ورودی در ارزیابی ذخایر آبزیان است. معمولاً فرض می‌شود که CPUE با فراوانی متناسب است. بنابراین، به عنوان شاخص فراوانی نسبی جمعیت یاد

صیدگاه، دمای سطح آب دریا<sup>۱</sup> (SST)، عمق لایه مخلوط شونده<sup>۲</sup> (MLD) و تناژ شناور بر CPUE این گونه به طور معناداری اثرگذار بوده‌اند (حقی و همکاران، ۱۳۹۵؛ Wang *et al.*, 2005, Shih *et al.*, 2014, Winker *et al.*, 2017, Nishida and Chen, 2004). حسینی (۱۳۸۲) نشان داد، میزان صید تون زردبale به روش گوشگیر در دریای عمان با افزایش عمق صیدگاه، افزایش یافته است. بنابراین، توصیه می‌شود عمق صیدگاه در سیستم ثبت داده‌های سازمان شیلات اضافه شود تا در مطالعات بعدی استانداردسازی صید به ازاء واحد تلاش این گونه به عنوان یک متغیر توضیحی محیطی لحاظ گردد. همچنین دما، شوری و اکسیژن فاکتورهای محیطی هستند که بر پراکنش مکانی و زمانی ماهیان تأثیرگذارند و در مطالعات آینده می‌توان از آنها در مدل‌های خطی عمومی - بر اساس زیستگاه<sup>۳</sup> (Standard-GLM-HBM) استفاده کرد (Nishida and Chen, 2004).

در مطالعه استانداردسازی تون زردبale در صید لانگ لاین تایوان (Wang *et al.*, 2005) مشخص شد ذخایر این گونه در اقیانوس هند تا سال ۲۰۰۵ وضعیت پایدار داشته است. Winker و همکاران (۲۰۱۷) در مطالعه استانداردسازی تون زردبale در جنوب غربی اقیانوس هند نشان دادند، صید به ازاء واحد تلاش استاندارد شده این گونه طی سال‌های ۲۰۱۶-۲۰۱۲ افزایش یافت که مطابق با افزایش آن در آبهای ایرانی دریای عمان در این مطالعه طی این سال‌ها بود. در مطالعه دیگری با استانداردسازی داده‌های صید به ازاء واحد تلاش تون زردبale در ناوگان صید لانگ لاین کره جنوبی از اقیانوس هند مشخص شد، شاخص فراوانی نسبی این گونه در آبهای استوایی غربی اقیانوس هند طی سال‌های ۲۰۱۷-۲۰۱۰ افزایش جزئی داشته است (Lee *et al.*, 2018).

دریای عمان تحت تأثیر دو نوع باد غربی یا شمال و دیگری بادهای موسمی (مانسون) از سمت جنوب و جنوب غرب می‌باشد که از اواخر خرداد ماه آغاز لغایت اوایل

فراوانی جمعیت در طول زمان است (Abear, 2009). اما متأسفانه تاکنون در ایران مطالعه‌ای برای استانداردسازی داده‌های صید به ازاء واحد تلاش تون زردبale صورت نگرفته و این موضوع کمتر مورد توجه بوده است.

مطابق شکل ۱ تغییرات تلاش صیادی در نمونه‌های ثبت شده (معادل ۱۰ درصد تلاش کل صیادی) طی سال‌های ۹۳-۱۳۸۶ متناسب با تغییرات مقدار صید تون زردبale بود. بنابراین، افزایش صید مشاهداتی در نتیجه افزایش واحد تلاش صیادی بوجود آمده است در حالیکه در دو سال آخر مطالعه تلاش صیادی کاهش یافته اما میزان صید همچنان بالا مانده است. این امر حاکی از آن است که با افزایش تلاش صیادی، ظرفیت افزایش صید وجود دارد. شایان ذکر است، با توجه به تحقیقات قبلی میزان صید تون زردبale طی سال‌های ۸۴-۱۳۷۷ به علت افزایش تلاش صیادی در سواحل سیستان، روند افزایشی داشت (حسینی، ۱۳۸۶).

صید به ازاء واحد تلاش صیادی استاندارد شده تغییرات کمتری نسبت به صید به ازاء واحد تلاش مشاهداتی دارد، که نشان می‌دهد مدل خطی اثر متغیرهای توضیحی را حذف کرده است. با افزایش هر یک تن تناژ شناور صیادی و هر یک متر ارتفاع تورهای گوشگیر، مقدار صید به ازاء واحد تلاش تون زردبale بترتیب ۰/۰۰۷ و ۰/۰۱۶ کیلوگرم افزایش یافته است (جدول ۱). این نشان می‌دهد افزایش تعداد طاقه‌های تور گوشگیر که به شکل عمودی به یکدیگر متصل می‌شوند، سبب افزایش راندمان صید و CPUE شده است. همچنین شناورهای بزرگتر توانایی حمل تورهای بیشتری دارند و به علت تناژ بالاتر، مدت بیشتری در دریا مشغول صید می‌شوند. بنابراین، مقدار صید بیشتری انجام می‌دهند. تاکنون مطالعه‌ای درباره اثر ارتفاع تورهای گوشگیر مورد استفاده بر میزان صید تون زردبale صورت نگرفته است. در مطالعات دیگری که درباره استانداردسازی داده‌های صید به ازاء واحد تلاش تون زردبale به روش گوشگیر، پرساین و لانگ لاین در سراسر جهان صورت گرفته است، فاکتورهای سال، ماه، عمق

<sup>1</sup> Sea Surface Temperature

<sup>2</sup> Mixed Layer Depth

<sup>3</sup> Habitat Based Model

- Abear, S.M., 2009.** Comparisons of Boosted Regression Tree, GLM and GAM performance in the standardization of Yellowfin Tuna catch-rate data from the Gulf of Mexico Longline Fishery, Faculty of the Louisiana State University and Agricultural and Mechanical College.
- Andrade, H.A., 2009.** Using delta-gamma generalized linear models to standardized catch rates of Yellowfin Tuna caught by Brazilian bait-boats. *ICCAT, Collective Volume of Scientific Papers*, 64(4): 1171-1181.
- Ariz, J., Delgado de Molina, A., Lourdes Ramos, M. and Pallarés, P., 2005.** Preliminary yellowfin tuna sex-ratio analysis from observer data obtained during the experimental cruise on Spanish longliners in the Southwestern Indian Ocean. WPTT-2005-WPTT-20. Available at, <http://www.iotc.org/files/proceedings/2005/wptt/IOTC-2005-WPTT-20.pdf>.
- Arrizabalaga, X.M., 2002.** The use of MULTIFAN to estimate growth parameters of yellowfin tuna (*Thunnus albacares*) in the Indian Ocean. *IOTC Proceedings* no. 5: 346-360.
- Cao, J., Chen, X., Chen, Y., Liu, B., Ma, J. and Li, S., 2011.** Generalized linear Bayesian models for standardizing CPUE: an application to a squid-jigging fishery in the northwest Pacific Ocean. *Scientia Marina*, 75: 679-689. Doi: 10.3989/scimar.2011.75n4679.
- مهرماه ادامه دارند (لایقی و همکاران، ۱۳۹۶). بیشترین مقدار صید تون زردباله در نیمه دوم سال و در ماه‌های بهمن و اسفند انجام شد (شکل ۴) که به دلیل عدم وزش بادهای موسمی و مطابق بودن با فصل تخم‌ریزی این ماهی در این زمان بود. فصل تخم‌ریزی تون زردباله در سواحل سیستان از بهمن ماه لغایت اردیبهشت و اوج آن در فروردین و اردیبهشت است (حسینی، ۱۳۸۶). بنابراین، اوج فشار صید در ۲ ماهه ابتدای فصل تخم‌ریزی بر ذخیره اعمال می‌شود. واضح است که CPUE تون زردباله گرایش فصلی دارد بطوریکه در فصل سرد سال (پاییز و زمستان)، نرخ صید بیشتر و در فصل گرم (بهار و تابستان) نرخ صید کمتری داشته است در حالیکه Winker و همکاران (۲۰۱۷) مشخص کردند، صید تون زردباله در جنوب غرب اقیانوس هند گرایش فصلی نداشت و بیشترین صید در ژولای و آگوست مطابق با اوایل تیر ماه تا اوایل شهریور ماه صورت گرفت.
- ### منابع
- حسینی، س. ع.، ۱۳۸۲. تعیین چشمه استاندارد تور گوشگیر ماهی گیدر در دریای عمان (سواحل سیستان و بلوچستان). فصلنامه پژوهش و سازندگی. در امور دام و آبزیان. دوره ۱۶. شماره ۳ (پی آیند ۶۰).
- حسینی، س. ع.، ۱۳۸۶. پایش ذخایر تون ماهیان (گیدر و هوور مسقطی) در دریای عمان - سواحل سیستان و بلوچستان. موسسه تحقیقات شیلات ایران. ۸۵/۱۰۹۶.
- حقی، ع.، قربانی، ر.، پیغمبری، س. ی.، مینگ، ا. ل.، کاپلان، د. و بلاک، ب.، ۱۳۹۵. ارتباط پراکنش ماهی تون زردباله (*Thunnus albacares*) صید شده توسط پرساینرهای ایرانی با متغیرهای محیطی در اقیانوس هند. مجله علمی شیلات. دوره ۲۶. شماره ۱. صفحات ۸۲-۶۷.
- لایقی، ب.، قادر، س.، علی اکبری بیدختی، ع. و آزادی، م.، ۱۳۹۶. حساسیت‌سنجی شبیه‌سازی‌های مدل WRF به پارامترسازی‌های فیزیکی در محدوده‌ی خلیج فارس و دریای عمان در زمان مونسون تابستانی. مجله ژئوفیزیک ایران. ۱۱(۱)، ۱-۱۹.

- Gulland, J.A., 1983.** Fish Stock Assessment: A Manual of Basic Methods. (Wily: New York.)
- Hinton, M.G. and Maunder, M.N., 2004.** Methods for standardizing CPUE how to select among them. *ICCAT, Collective Volume of Scientific Papers*, 56(1): 169-177.
- IOTC Secretariat, 2001.** Report on the status of the databases held at the IOTC secretariat, IOTC Proceedings no. 4 (2001): 256 -265.
- IOTC Secretariat, 2004.** Status of IOTC databases for tropical tunas, IOTC-2004-WPTT-01.
- IOTC Secretariat, 2005.** Report of the eighth session of the scientific committee Victoria, Seychelles, 7-11 November 2005.
- IOTC, 2013a.** Status of the Indian Ocean bigeye tuna (BET: *Thunnus obesus*) resource. IOTC-2013-SC16ES02[E]. Available at: [http://www.iotc.org/files/proceedings/2013/sc/IOTC-2013-SC16-ES02\[E\].pdf](http://www.iotc.org/files/proceedings/2013/sc/IOTC-2013-SC16-ES02[E].pdf)
- IOTC, 2013b.** Status of the Indian Ocean skipjack tuna (SKJ: *Katsuwonus pelamis*) resource. IOTC-2013-SC16ES03[E]. Available at: [http://www.iotc.org/files/proceedings/2013/sc/IOTC-2013-SC16-ES03\[E\].pdf](http://www.iotc.org/files/proceedings/2013/sc/IOTC-2013-SC16-ES03[E].pdf)
- IOTC, 2013c.** Status of the Indian Ocean yellowfin tuna (YFT: *Thunnus albacares*) resource. IOTC-2013-SC16ES04[E]. Available at: [http://www.iotc.org/files/proceedings/2013/sc/IOTC-2013-SC16-ES04\[E\].pdf](http://www.iotc.org/files/proceedings/2013/sc/IOTC-2013-SC16-ES04[E].pdf)
- Kaymaram, F., Emadi, H. and Kiabi, B., 2000.** Population parameters and feeding habits of yellowfin tuna (*Thunnus albacares*) in the Oman Sea, IOTC Proceedings no. 3: 283-285.
- Keymaram, F., Hosseini, S.A. and Darvishi, M., 2014.** Estimates of Length-Based Population Parameters of Yellowfin Tuna (*Thunnus albacares*) in the Oman Sea. *Turkish Journal of Fisheries and Aquatic Sciences* 14: 101-111. Doi: 10.4194/1303-2712-v14\_1\_12.
- Lee, S.I., Kim, D.N. and Hoyle, S.D., 2018.** CPUE standardization of yellowfin tuna caught by Korean tuna longline fishery in the Indian Ocean, 1977-2017. IOTC-2018-WPTT20-39.
- Maunder, M.N. and Punt, A.E., 2004.** Standardizing catch and effort data: a review of recent approaches. *Fisheries Research*, 70: 141-159. Doi: 10.1016/j.fishres.2004.08.002
- Mohri, M. and Nishida, T., 2000.** Consideration on distribution of adult yellowfin tuna (*Thunnus albacares*) in the Indian Ocean based on Japanese tuna longline fisheries and survey information. IOTC Proceedings no. 3: 276-282.
- Nelder, J.A. and Wedderburn, R.W.M., 1972.** Generalized linear models. *Journal of Royal Statistical Society, Series A*, 137: 370-384. Doi: 10.2307/2344614.
- Nishida, T. and Chen, D.G., 2004.** Incorporating spatial autocorrelation into the general linear model with an application to the Yellowfin Tuna (*Thunnus albacares*)

- Longline CPUE data. *Fisheries Research*, 70: 265-274. Doi: 10.1016/j.fishres.2004.08.008.
- Nishida, T. and Shono, H., 2002.** Stock assessment of yellowfin tuna (*Thunnus albacares*) resources in the Indian Ocean by the age structured production model (ASPM) analyses, IOTC Proceedings no. 5: 248-273.
- Nootmorn, P. and Panjarat, S. 2001.** Preliminary results on age and growth determination, daily increment, of tropical tunas, IOTC Proceedings no. 4: 266-272.
- Olivier, L., 2002.** Study of the growth of yellowfin tuna (*Thunnus albacares*) in the Western Indian Ocean based on length frequency data. IOTC Proceedings no. 5: 316-327.
- Shih, C.L., Chou, S.C., Wang, H.Y. and Hsu, C.C., 2014.** Trial estimation of standardized catch per unit effort of Yellowfin Tuna by the Taiwanese Longline Fishery in the tropical waters of the Atlantic Ocean. ICCAT, 70(6): 2738-2762.
- Somvanshi, V.S., 2002.** Review of biological aspects of yellowfin tuna (*Thunnus albacares*) from the Indian Ocean, IOTC Proceedings no. 5: 420-426.
- Tantivala, C., 2000.** Some biological study of yellowfin tuna (*Thunnus albacares*) and bigeye tuna (*Thunnus obesus*) in the Eastern Indian Ocean, IOTC Proceedings no. 3: 436-440.
- Wang, S.P., Chang, S.K. and Shono, H., 2005.** Standardization of CPUE for Yellowfin Tuna caught by Taiwanese longline fishery in the Indian Ocean using generalized linear model. IOTC-2005-WPTT-16.
- Winker, H., Parker, D., Silva, C. and Kerwath, S.E., 2017.** Standardization Longline catch per unit effort for Bigeye (*Thunnus obesus*) and Yellowfin Tuna (*Thunnus albacares*) from south Africa. IOTC-2017-WPTT19-26.
- Yeh, Y.M., Hoyle, S. and Chang, S.T., 2018.** Updated CPUE standardizations for bigeye and yellowfin tuna caught by Taiwanese longline fishery in the Indian Ocean using generalized linear model. IOTC-2018-WPTT20-35.

## Standardized CPUE of yellowfin tuna (*Thunnus albacares*) by General Linear Model (GLM) for Iranian Gillnet Fisheries in the Oman Sea

Kazemi S.H.<sup>1</sup>; Paighambari S.Y.<sup>1\*</sup>; Zare P.<sup>1</sup>; Saeid Gorgin S.<sup>1</sup>

\*sypaighambari@gau.ac.ir

1- Fisheries group, Faculty of Fisheries and environmental sciences, Gorgan University of Agricultural Sciences and Natural Resources, Gorgan, Iran

### Abstract:

Yellowfin Tuna (*Thunnus albacares*) is one of the most important commercial and neritic fish species which has known because of ecological importance and wide distribution around the world. The aim of this study was to determine relative index of abundance for Yellowfin Tuna from 2007 to 2016, also we evaluated effect of some explanatory variables (year, month, vessel tonnage and net height) of catch per unit effort data in traditional gillnet fishery standardized by general linear model (GLM) in the Oman Sea. Standardized catch per unit effort is an important entrance in stock assessment as an annual abundance index. The results of this study have shown that all explanatory variables influence CPUE significantly in GLM model with lognormal error distribution; CPUE of Yellowfin Tuna increased 0.007 and 0.0016 by raising one ton of vessel' tonnage and one meter of net height, respectively. Relative index of abundance of Yellowfin Tuna has the lowest quantity in 2011, remain stable till 2013 then increase to highest level in 2016, which is shown the catch rate can increase by raising catch effort. There is a seasonal trend in standard CPUE of Yellowfin Tuna with the highest catch rate in cold season. Monthly relative index of abundance has shown highest catch rate occurred in February and March.

**Keywords:** Gillnet, Yellowfin tuna, Standardized CPUE, General Linear Model

---

\*Corresponding author